

مجله مخاطرات محیط طبیعی، سال پنجم، شماره هفتم، بهار ۱۳۹۵

تاریخ دریافت مقاله: ۹۴/۱۲/۱۱

تاریخ پذیرش مقاله: ۹۵/۰۲/۱۴

صفحات: ۱۰۱-۱۱۶

پهنه‌بندی دمای رویه‌ی زمین ایران با داده‌های مودیس

مسعود مرادی^۱، دکتر برومند صلاحی^{۲*}، دکتر سید ابوالفضل مسعودیان^۳

چکیده

دیدبانی‌های مودیس ترا و آکوا با چگالی مکانی و زمانی مناسب در گستره‌ی ناهمگون ایران می‌تواند دانسته‌های ما را از ویژگی‌های دمایی ایران افزایش دهد. در این پژوهش خوشبندی داده‌های دمای رویه‌ی زمین باهدف شناسایی پهنه‌های دمایی و بررسی تغییرات مکانی و زمانی آن در هر پهنه انجامشده است. تفاوت زمانی برداشت دمای رویه‌ی زمین در روزهای مختلف برای هر یاخته با استفاده از همزمان‌سازی داده‌های مودیس ترا و آکوا اصلاح شد و پس از محاسبه‌ی شبی دمای رویه‌ی زمین دمای ساعت ۳۰:۱۲ نیم روز برای هر یاخته‌ی درون مرز ایران تولید شد. از پایگاه داده‌ی تولیدشده در مقیاس روزانه، آرایه‌ای در ابعاد ۱۷۶۵*۲۶۸۸*۱۲ تولید شد که میانگین بلندمدت ماهانه‌ی دمای رویه‌ی زمین ایران است. خوشبندی دمای رویه‌ی زمین به‌منظور آشکارسازی پهنه‌های دمایی ایران به روش وارد روی داده‌های ماهانه انجام شد. در گام اول خوشبندی، ایران به دو پهنه‌ی دمایی سرد و گرم تقسیم شد که خوشبندی مجدد آن‌ها چهار پهنه‌ی بسیار گرم، معتدل و سرد را در گستره‌ی ایران نمایان ساخت. خوشبندی دمای رویه‌ی زمین ایران هماهنگی زیادی با ناهمواری‌ها و عرض جغرافیایی نشان می‌دهند. بخش‌های مرتفع تر ایران در رشته‌کوههای زاگرس و البرز و نیز بلندی‌های داخلی ایران در خوشبندی معقول و سرد قرار می‌گیرد در حالی که مناطق پست در عرض‌های جنوبی و بیابان‌های داخلی ایران پهنه‌های بسیار گرم و گرم ایران هستند. هنگام رخداد بیشینه‌ها دمای رویه‌ی زمین در پهنه‌های گرم و معتدل به مقادیر دما در پهنه‌ی بسیار گرم نزدیک‌تر می‌شوند. با توجه به گستره‌ی پهنه‌ی گرم که یک‌سوم مساحت ایران را در برمی‌گیرد می‌توان نتیجه گرفت که بخش‌های زیادی از کشور در صورت افزایش دما قابلیت تبدیل به مناطق بسیار گرم را دارد.

کلیدواژه‌ها: دمای رویه‌ی زمین، پهنه‌بندی، مودیس، ایران

۱- دانشجوی دکتری آب و هواشناسی، دانشگاه محقق اردبیلی

bromand416@yahoo.com

۲- *دانشیار آب و هواشناسی، دانشگاه محقق اردبیلی

۳- استاد آب و هواشناسی، دانشگاه اصفهان

مقدمه

دماه رویه‌ی زمین نسبت به شرایط محلی هوا سپهر، جنس رویه، رطوبت خاک و استرس آبی گیاه و بسیاری موارد دیگر حساس است؛ بنابراین فرا سنجی کلیدی در کاربری‌های هواشناسی، اقلیمی و آب‌شناسی است (کلو و همکاران، ۲۰۰۹). در طول دهه‌های گذشته اندرکنش میان زمین و هوا سپهر به‌طور گسترده‌ای بررسی شده است (جی، ۲۰۱۰، ۱۹۹۴). دیدبانی‌های ماهواره‌ای نشان می‌دهد که اندرکنش‌های میان زمین، هوا سپهر و زیست‌کره سبب ناهنجاری‌های آشکاری در گردش‌های میان مقیاس جوی شده و شهرهای جهان روندهای افزایش دماه بزرگ‌تری نسبت به سایر مناطق دارند (جین و همکاران، ۲۰۰۵). دماه رویه‌ی زمین با ویژگی‌های رویه‌ی زمین، تابش خورشیدی و تبخیر و تعرق نیز ارتباط نزدیک دارد (تارپلی، ۱۹۷۹). از آنجاکه برداشت چنین اطلاعاتی در مقیاس‌های منطقه‌ای و جهانی توسط ایستگاه‌های زمینی عملأً غیرممکن است، استفاده از داده‌های ماهواره‌ای می‌تواند دانسته‌های ما را از آب‌وهوا و از آن جمله دماه رویه‌ی زمین در ایران افزایش دهد. پژوهش‌های گوناگونی درباره دماه رویه‌ی زمین انجام شده است. بخش زیادی از پژوهش‌ها در زمینه‌ی راستی آزمایی دماه رویه‌ی زمین است (ایگناتوف و گاتمن، ۱۹۹۱؛ فایساش و اسمیت، ۱۹۹۹؛ وو و همکاران، ۲۰۱۵). برخی به مقایسه‌ی دماه رویه‌ی زمین با اندازه‌گیری‌های ایستگاهی دما پرداخته‌اند (ماستاووی و همکاران، ۲۰۰۶؛ بنالی و همکاران، ۲۰۱۲؛ دیاز، ۲۰۱۳) و یا با داده‌های تابش سنج زمینی راستی آزمایی انجام شده است (لی و همکاران، ۲۰۱۰؛ وان و همکاران، ۲۰۰۲؛ وان، ۲۰۰۱). افزون بر این دماه رویه‌ی زمین در زمینه‌های گوناگونی مانند الگوی ذوب برف در بلندی‌ها (جاین و همکاران، ۲۰۰۱)، دماه رویه‌ی جاده‌ها به‌منظور بررسی رخداد یخ‌بندان (چیمن و همکاران، ۲۰۰۱؛ شاو و همکاران، ۱۹۹۷) و جزیره‌ی گرمایی شهری (پانگراکن و همکاران، ۲۰۱۰؛ رسول و همکاران، ۲۰۱۵؛ کوی و فای، ۲۰۱۲) استفاده شده است. در زمینه‌ی آب و هواشناسی کشاورزی موضوع‌هایی مانند رخداد خشک‌سالی (سان و همکاران؛ میلدرکلر و همکاران، ۲۰۱۶) و بررسی پوشش گیاهی و مراحل رشد گیاه^۱ (هانس و شوارتز، ۲۰۱۱؛ هانگ و همکاران، ۲۰۰۷) از دماه رویه‌ی زمین به عنوان فرا سنجی کمکی استفاده می‌شود که در آشکارسازی تنش‌های آبی و گرمایی گیاه اهمیت دارد. دماه رویه‌ی زمین مودیس در بررسی تغییرات بزرگ‌مقیاس دماه رویه نیز استفاده شده است (ماستر و همکاران، ۲۰۱۵). در ایران نیز پژوهش‌های گوناگونی در این زمینه انجام شده است. از آن جمله می‌توان به پژوهش دشتکیان و دهقانی (۱۳۸۶) اشاره کرد که به بررسی دماه رویه‌ی زمین در ارتباط با پوشش گیاهی و توسعه شهری در مناطق بیابانی پرداخته‌اند. ایشان به کمک تصاویر ماهواره‌ی لندست ۷ دماه رویه‌ی زمین را محاسبه نموده‌اند و سپس نتایج روش‌های گوناگون را با یکدیگر و با اندازه‌گیری‌های ایستگاه‌های هواشناسی مقایسه کرده‌اند. ضریب همبستگی شاخص پوشش گیاهی برای دماه رویه‌ی زمین بالاست (۰/۹۹) ولی در مورد دماه تأسیسات و کارخانه‌ها بسیار پایین و با ضریب تغییر بالا گزارش شده است که دلیل آن را بیابانی بودن منطقه، آلودگی هوا و توان تشعشعی متفاوت اجسام ذکر کرده‌اند. مؤمنی و قزلباش (۱۳۹۰) به بررسی نقش پوشش گیاهی بر دماه رویه‌ی زمین در محدوده‌های شهری پرداخته‌اند. بررسی دماه شب و روز رویه‌ی زمین مودیس و نیز پیوند آن با شاخص پوشش گیاهی، همبستگی بیشتری را در دماه روز نشان می‌دهد؛ اما با گذشت زمان از سال ۲۰۰۰ تا ۲۰۱۱ این همبستگی رو به کاهش بوده است. کمالی و همکاران (۱۳۹۰) به‌منظور

مقایسه‌ی آورد گندم در دو سال تر و خشک در اصفهان از داده‌های بازتاب رویه و دمای رویه زمین مودیس استفاده کردند. افزایش ۱/۴ برابری تولید گندم در دوره ترسالی در سطح استان اصفهان نسبت به دوره خشکسالی به دست آمده است. حجازی زاده و همکاران (۱۳۹۲) به مقایسه‌ی داده‌های دو ماهواره‌ی AVHRR و مودیس در برآورد دمای رویه زمین استان‌های تهران و قزوین پرداخته‌اند. برای راستی آزمایی از داده‌های عمق ۵ سانتی‌متری خاک استفاده شده است. نتایج نشان‌دهنده نزدیک بودن میزان دمای برآورد شده با دمای واقعی رویه زمین به‌ویژه در مورد ماهواره‌ی AVHRR است که می‌توان از آن برای مناطقی که ایستگاه هواشناسی ندارند استفاده کرد. چگالی مکانی بالا و بازه‌ی زمانی مناسب این داده‌ها می‌تواند اطلاعات دقیق‌تری از ویژگی‌های دمایی در پهنه‌ی ایران ارائه دهد. در این پژوهش سعی شده است پس از پردازش داده‌ها از آن در بررسی ویژگی‌های مکانی و زمانی دمای رویه زمین ایران استفاده شود. امید است با خوشبندی داده‌های دمای رویه زمین، پهنه‌های دمای رویه زمین ایران شناسایی شود و سپس تغییرات ماهانه دمای رویه زمین در هر پهنه‌ی دمایی بررسی شود.

مواد و روش‌ها

داده‌های دمای رویه زمین مودیس

در تولید فراورده‌های دمای رویه زمین مودیس از دو روش مختلف شامل خوارزمیک^۱ پنجره‌ی مجزای بهنجار شده و خوارزمیک روز - شب استفاده شده است. خوارزمیک پنجره‌ی مجزای بهنجار شده با چگالی مکانی یک کیلومتر (دان و دوزیر، ۱۹۹۶) تولید شده است و هدف از آن کاهش خطاهای گسیلنندگی و خطای کمی‌سازی سنجنده است. خوارزمیک روز - شب با چگالی مکانی نزدیک به ۵ کیلومتر (مجموعه‌ی ۴) و ۶ کیلومتر (مجموعه‌ی ۵) تولید شده است. در این پژوهش داده‌های تولید شده با خوارزمیک پنجره‌ی مجزا در مقیاس زمانی روزانه استفاده شده است و به دلیل اینکه در محاسبه‌ی دمای رویه زمین برای یک‌زمان ثابت محلی نیاز به داده‌های هر دو ماهواره‌ی تررا و آکوا مودیس بود این داده‌ها از زمان آغاز فعالیت ماهواره‌ی آکوا در ۱۳۸۱/۰۴/۱۷ تا ۱۳۹۴/۱۱/۳۱ از تارنمای مودیس به نشانی/<http://reverb.echo.nasa.gov/reverb> برداشت شده است.

همزمان‌سازی دمای رویه زمین مودیس

ماهواره‌ی تررا در بازه‌ی ۱۰ تا ۱۲ بامداد و ماهواره‌ی آکوا در بازه‌ی ۱۲ تا ۱۴ نیمروز به وقت محلی زمین را پاییش می‌کند. به دلیل زاویه‌ی دید در حدود ± 55 درجه‌ای در یاخته‌های کناری تصاویر مودیس، اختلاف زمان خورشیدی محلی برای یاخته‌های کناری شرق و غرب در یک ردیف پیمایش بیش از یک ساعت است. افزون بر این به دلیل اینکه ماهواره‌های تررا و آکوا مودیس تمام مدارها را در یک روز کامل نمی‌کنند در هر محل در روزهای پیاپی زمان خورشیدی محلی برداشت تا ۱/۵ ساعت متغیر است (دان و همکاران ۲۰۱۴). درنتیجه دمای هر یاخته در زمان‌های متفاوتی برداشت می‌شود. برای حل این مشکل برداشت‌های روز هنگام مودیس تررا و آکوا را به کار گرفتیم. نخست زمان

برداشت و دمای رویه‌ی زمین هر دو ماهواره فراخوانی شد و سپس تغییر دمای رویه‌ی زمین نسبت به اختلافزمانی برداشت آن‌ها برای هر یاخته و برای هر روز آماری برحسب کلوین بر ساعت محاسبه شد (رابطه‌ی ۱ تا ۳).

$$\text{رابطه‌ی ۱: } D_{tad} = \frac{D_{lst}}{D_{ttd}} \quad \text{رابطه‌ی ۲: } D_{lst} = (I_{stad} - I_{sttd}) \quad \text{رابطه‌ی ۳: } SLP = \frac{D_{lst}}{D_t}$$

در تساوی‌های بالا D_t فاصله‌ی زمانی دو برداشت ترا و آکوا در روز هنگام برحسب ساعت است. tad و ttd به ترتیب زمان برداشت روز هنگام مودیس آکوا و ترا بر حسب ساعت محلی، I_{stad} و I_{sttd} به ترتیب دمای روز هنگام رویه‌ی زمین مودیس آکوا و ترا بر حسب کلوین، D_{lst} اختلاف دمای رویه‌ی زمین در دو برداشت روز هنگام دو ماهواره‌بر حسب کلوین و درنهایت SLP شبیب دمای رویه‌ی زمین بین دو برداشت دو ماهواره‌بر حسب کلوین بر ساعت است که برای هر یاخته و هر روز دوره‌ی آماری موجود جداگانه محاسبه شده است. با استفاده از شبیب دمای رویه‌ی زمین به دست آمده در رابطه‌های ۱ تا ۳ دمای رویه‌ی زمین برای ساعت ۱۲:۳۰ نیمروز محلی به کمک رابطه‌ی ۴ و برای هر یاخته‌ی یک کیلومتری در هر روز محاسبه شده است.

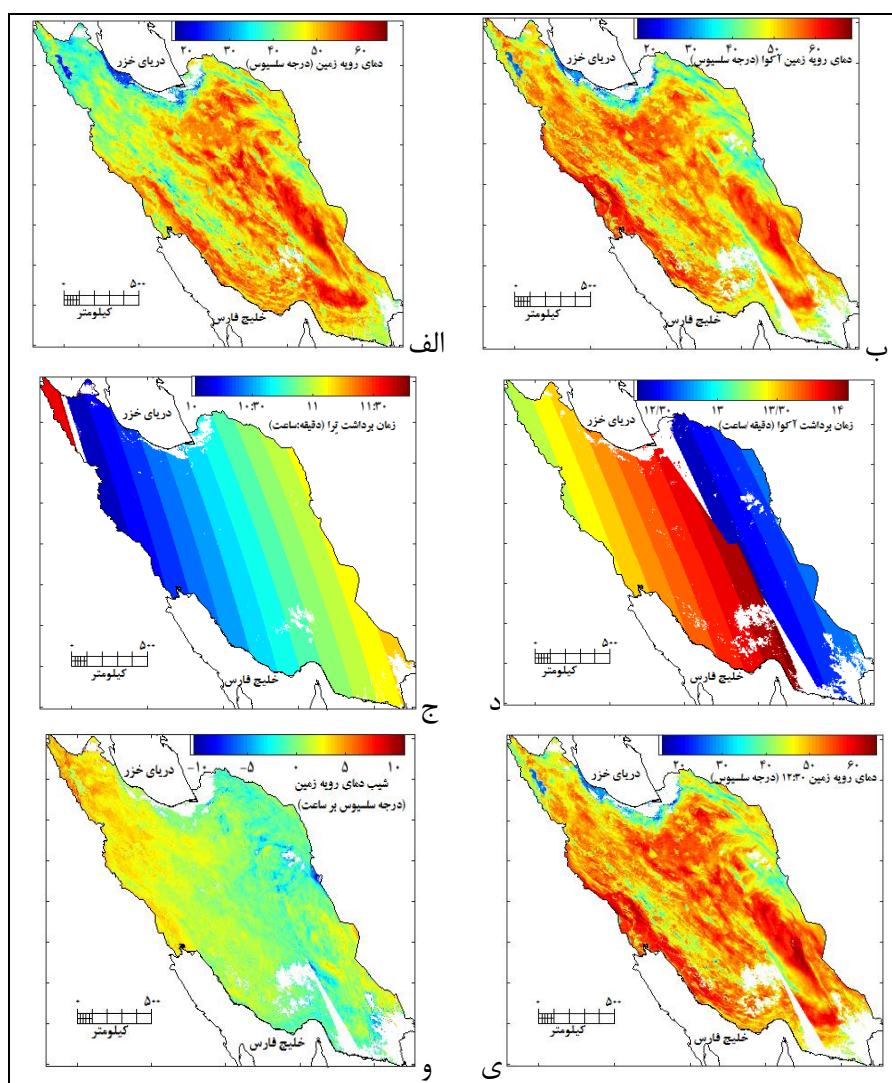
$$\text{رابطه‌ی ۴: } LST(12.5) = I_{stad} - SLP * (tad - 12.5)$$

در شکل ۱ مراحل همزمان‌سازی دمای رویه‌ی زمین مودیس ترا و آکوا آمده است. این شکل مراحل کار همزمان‌سازی را در روز ۱۲ مرداد ۱۳۸۵ به عنوان یک نمونه نشان می‌دهد (شکل ۱). پایگاه داده‌ی نهایی با انجام این مراحل برای تمام روزهای دوره‌ی آماری موجود محاسبه شده است.

پهنه‌بندی دمای رویه‌ی زمین در ایران

پس از همزمان‌سازی داده‌های روزانه‌ی ترا و آکوا مودیس میانگین بلندمدت ماهانه‌ی دمای رویه‌ی زمین محاسبه شد که آرایه‌ای به ابعاد ۱۲*۱۷۶۵*۲۶۸۸*۱۲ را تشکیل می‌دهد. بُعد اول و دوم این آرایه نقاط مکانی با تفکیک یک کیلومتر و بعد سوم آن ۱۲ ماه سال است. با استفاده از این داده‌ها خوشبندی مکانی دمای رویه‌ی زمین ایران به روش وارد انجام شد. از آنجاکه تعداد نقاط مکانی (۱۸۸۴۰۷۷ یاخته) بسیار فراتر از توان محاسباتی رایانه‌های در دسترس بود برای انجام خوشبندی هر بار ۳۰۰۰ نقطه به تصادف از میان یاخته‌های واقع در درون مرز ایران برگزیده شد. سپس بر اساس میانگین بلندمدت ماهانه‌ی دمای رویه‌ی زمین، این نقاط به دو گروه گرم و سرد بخش شدند. در گام دوم این نقاط را از آرایه خارج کرده و ۳۰۰۰ نقطه‌ی دیگر به همان روش به دو گروه سرد و گرم بخش شد. در گام سوم نقاطی که در گام اول و دوم در گروه گرم جا گرفته بودند با یکدیگر ادغام شدند و نقاطی نیز که در دو گام پیشین در گروه سرد جا گرفته بودند در یک گروه ادغام شدند. گام‌های اول تا سوم را آنقدر تکرار کردیم تا همه‌ی یاخته‌ها در دو گروه سرد یا گرم جا گرفتند.

در مرحله‌ی بعد همین فرایند را جداگانه برای یاخته‌های گروه سرد و گرم تکرار کردیم و به این ترتیب همه‌ی یاخته‌ها در چهار خوشه دسته‌بندی شدند. سپس برای هر پهنه‌ی دمایی آماره‌های دمای رویه‌ی زمین و نیز ویژگی‌های ارتفاعی هر پهنه بررسی شد.



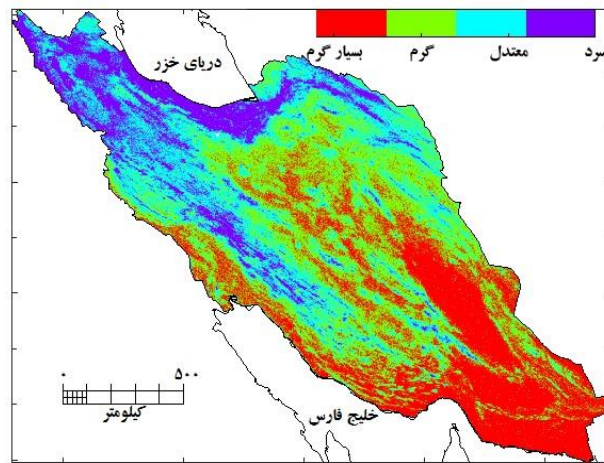
شکل ۱: دمای روز هنگام تررا (الف) و آکوا (ب)، زمان گذشت تررا (ج) و آکوا (د)، شیب دمای رویه زمین از دیدبانی تررا تا آکوا (و)، دمای رویه زمین تولیدشده برای ساعت ۱۲:۳۰ نیمروز (ی) در روز ۱۲ مرداد ۱۳۸۵

یافته ها

پهنه بندی دمای رویه زمین با داده های میانگین بلندمدت ماهانه

پس از خوشبندی دمای رویه زمین چهار خوشه دمایی در پهنه ای ایران نمایان شد که قلمرو هر کدام از این پهنه ها هم خوانی زیادی با ویژگی های محیطی و جغرافیایی نشان می دهد. با توجه به ویژگی های دمایی، هر خوشه با شناسه های بسیار گرم، گرم، معتدل و سرد نام گذاری شد. پهنه ای بسیار گرم به رنگ سرخ در شکل ۲ نشان داده شده است. این پهنه بیشتر در کرانه های جنوبی تا شمال جلگه ای خوزستان، بخش جنوب شرقی و بیابان های داخلی ایران نمود یافته است. پهنه ای بسیار گرم $\frac{27}{4}$ درصد از ایران را دربر می گیرد. پهنه ای گرم ایران بیشتر به صورت کمربندي در اطراف پهنه ای بسیار گرم دیده می شود و با بیشترین گستردگی $\frac{33}{2}$ درصد از ایران را در بخش های مرکزی و

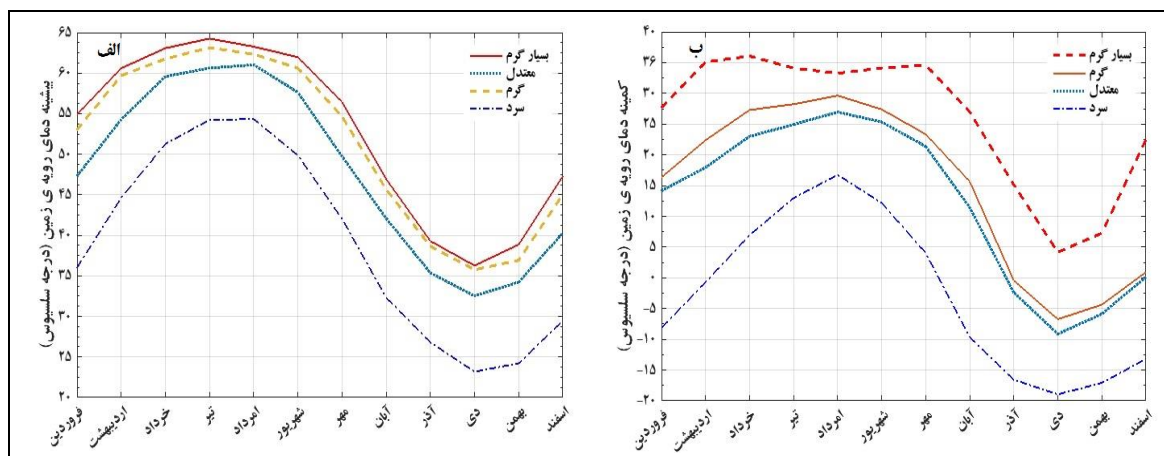
شرقی فراگرفته است. خوشهای دمای رویهی زمین ایران هماهنگی زیادی با ناهمواری‌ها و عرض جغرافیایی نشان می‌دهند. بخش‌های مرتفع‌تر ایران در رشته‌کوه‌های زاگرس و البرز و نیز بلندی‌های داخلی ایران در خوشهای معتمد و سرد قرار می‌گیرد درحالی‌که مناطق پست در عرض‌های جنوبی و بیابان‌های داخلی ایران پهنه‌های بسیار گرم و گرم ایران هستند. پهنه‌ی معتمد $24/8$ درصد ایران را پوشش می‌دهد و تغییر رژیم دمای رویه از بخش‌های گرم یادشده را به سمت پهنه‌ی سرد در بلندی‌ها نشان می‌دهد. با توجه به شکل پراکنش این پهنه می‌توان گفت که مناطق پای کوهی، کوهستان‌های کم ارتفاع و دشت‌ها و دره‌های کوهستانی در پهنه‌ی دمایی معتمد قرار می‌گیرند. چهارمین و کوچک‌ترین خوشی دمای رویهی زمین ایران به نام پهنه‌ی سرد $13/9$ درصد ایران را فراگرفته است. با توجه به موقعیت این پهنه در شکل ۲ دیده می‌شود که پهنه‌ی سرد نواحی آب و هوایی مشخصی از ایران را در برگرفته است. بارزترین ناحیه بلندی‌های ایران در رشته‌کوه زاگرس و البرز و نیز بلندی‌های داخلی است که با توجه به چگالی مکانی داده‌های دمای رویهی زمین مودیس به خوبی نمایان و از سایر بخش‌ها متمایز است. کرانه‌های شمالی کشور و دریاچه‌ی ارومیه دو منطقه‌ی دیگری هستند که در پهنه‌ی سرد قرار دارند. گرچه کوشیده شد تا خوشبندی را یک گام پیشتر برد و این پهنه به دو بخش مجزا تقسیم شود اما این بررسی نشان داد که در کرانه‌های خزر رطوبت رویهی زمین سبب شده تا انرژی ورودی بیشتر به گرمای نهان تبدیل شود تا گرمای محسوس. درنتیجه دمای رویهی زمین در کرانه‌های خزر بیشتر همانند آذربایجان است تا ایران مرکزی.



شکل ۲: پهنه‌بندی دمای روز هنگام رویهی زمین ایران با داده‌های بلندمدت ماهانه

از مقایسه‌ی رژیم بیشینه‌ی دمای رویهی زمین در چهار پهنه‌ی زیادی روشن می‌شود که سه ناحیه‌ی بسیار گرم، گرم و معتمد هماهنگی بسیار زیادی با یکدیگر داشته و پهنه‌ی سرد الگویی متفاوت را دنبال می‌کند (شکل ۳-الف). این ویژگی بیانگر آن است که تقریباً در سراسر ایران بیشینه‌ی دما متأثر از تبدیل درصد بزرگی از انرژی ورودی به گرمای محسوس است. در عین حال در پهنه‌ی سرد به دلیل رطوبت خاک سهم بزرگ‌تری از انرژی ورودی به گرمای نهان تبدیل می‌شود. همین تفاوت سهم گرمای نهان و گرمای محسوس سبب تفاوت الگوی بیشینه‌ی دمای رویهی زمین در چهار پهنه‌ی دمایی شده است. بیشینه‌ها در دو پهنه‌ی بسیار گرم و گرم به ترتیب با 64 و $62/5$ درجه‌ی سلسیوس در تیرماه بیشترین و در دی‌ماه با 34 درجه‌ی سلسیوس کمترین است. در مورد کمینه‌ی دمای رویهی

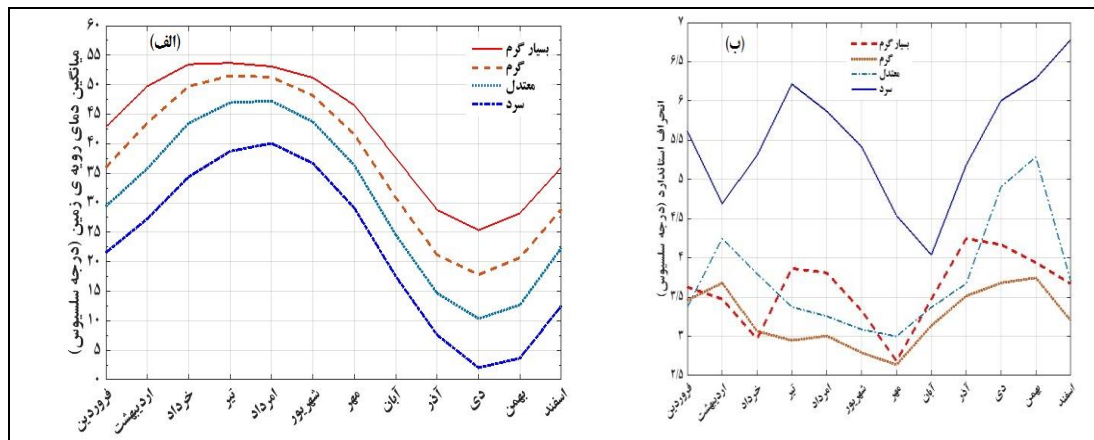
زمین نیز همین ویژگی دیده می شود اما این بار پهنه های گرم و معنده همانگی بیشتری باهم نشان می دهند (شکل ۳-ب). در کل تغییرات ۱۵ تا ۲۰ درجه ای دما در را در طول سال در پهنه های مختلف نشان می دهند. این اختلاف در کمینه ها به ۲۰ تا ۲۵ درجه سلسیوس افزایش یافته است. پایین ترین دمای ماهانه با ۲۰ درجه سلسیوس در دی ماه پهنه های سرد و بیشترین مقدار در تیرماه با ۶۴ درجه در پهنه های بسیار گرم ثبت شده است (شکل ۳).



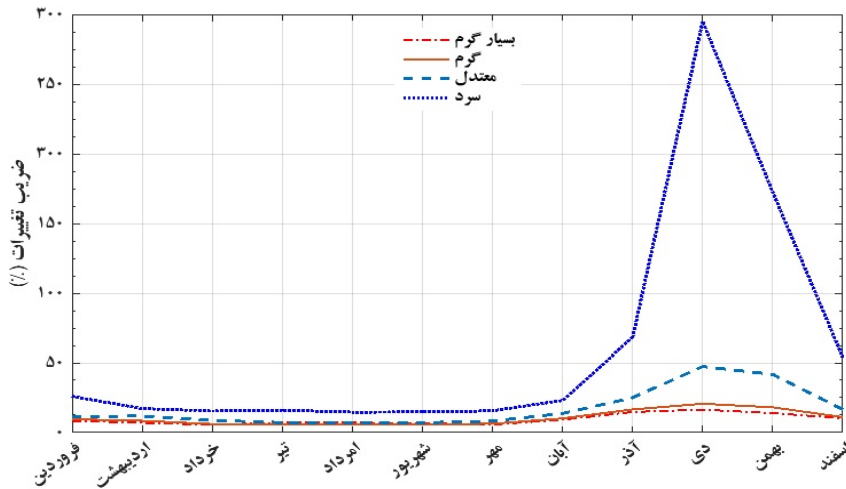
شکل ۳: دمای بیشینه (الف) و کمینه (ب) رویه زمین در چهار پهنه دمایی ایران

تغییرات ماهانه میانگین و انحراف استاندارد دمای رویه زمین در شکل ۴ آمده است. میانگین دما در دی ماه کمترین مقادیر و در ماه های خرداد، تیر و مرداد بیشترین است. تغییرات ماهانه دمای رویه زمین ایران نشان از پایداری بیشتر دوره های گرم در طول سال نسبت به دوره های سرد دارد و نشان دهنده غلبه های دوره های گرم در ایران است. تغییرات میانگین ماهانه دمای رویه زمین ایران از ۲۳ درجه سلسیوس در پهنه های بسیار گرم تا ۳۸ درجه سلسیوس در پهنه های سرد افزایش می یابد (شکل ۴-الف). هم چنان که شکل ۴-ب نیز بیشترین انحراف استاندارد را در تمام ماه های سال برای پهنه های سرد نشان می دهد. کمترین انحراف استاندارد دمای رویه زمین که نشان از یکپارچگی دما درون یک پهنه های دمایی است در خوش های گرم تر تغییر پذیری درون خوش های دمایی بسیار گرم و گرم رخ داده است. در کل می توان گفت پهنه های گرم تر تغییر پذیری درون خوش های دمایی کمتری را به ویژه در نیمه های گرم سال نشان می دهند که نشان از شرایط پایداری دمایی بیشتر در این پهنه ها و در دوره های گرم سال است. در مقابل پهنه های سرد با توجه به ناهمگونی مکانی و شرایط یاد شده در بخش های پیشین پراکندگی درونی بیشتری را تجربه می کند. ضریب تغییرات دمای رویه زمین در پهنه های مختلف می تواند به نحو بهتری این ویژگی را نشان دهد. در شکل ۵ این ویژگی آمده است و همان طور که انتظار می رفت ضریب تغییرات در دوره های گرم سال در صدهای پایینی را نشان می دهد و در دوره های سرد سال افزایش می یابد. ضریب بسیار بالای تغییر در پهنه های دمایی سرد در دوره های سرد سال اختلاف درونی این خوش را آشکار می سازد و نشان دهنده اختلاف دمای رویه میان کرانه های شمال کشور با بلندی های ایران در دوره های سرد است. در این زمان از سال بلندی ها پوشیده از برف بوده و پایین ترین

دماها را ثبت می‌کنند در حالی که در کرانه‌های شمالی بارش‌ها بیشتر به صورت باران بوده و دماهای معتدلی را در مجاورت دریای خزر تجربه می‌کنند (شکل ۵).



شکل ۴: میانگین (الف) و انحراف استاندارد (ب) دمای رویه‌ی زمین در پهنه‌های دمایی ایران



شکل ۵: ضریب تغییرات دمای رویه‌ی زمین در پهنه‌های دمایی ایران

ویژگی‌های ارتفاعی خوشه‌های دمای رویه‌ی زمین ایران

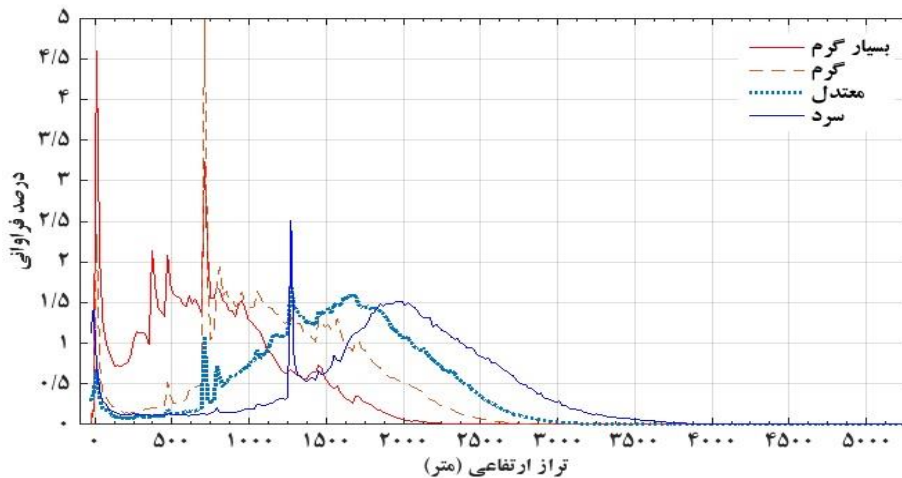
بررسی‌های اولیه از ویژگی‌های ارتفاعی چهار پهنه‌ی دمای رویه‌ی زمین در ایران دامنه‌ی گستردگی از ترازهای ارتفاعی را برای هر پهنه نشان می‌دهد (جدول ۱). مقادیر کمینه‌ی ارتفاع نشان می‌دهد که به‌جز پهنه‌ی بسیار گرم که بیشتر در بخش‌های جنوبی ایران دیده می‌شود سایر پهنه‌ها در کرانه‌های شمالی کشور وجود دارد. بیشینه‌ی ارتفاعی در چهار پهنه‌ی دمای رویه‌ی زمین مقادیر بالایی را نشان می‌دهند. برای مثال وجود پهنه‌ی بسیار گرم در بلندی‌ای بالاتر از ۲۶۰۰ متری در خور توجه است. از این‌رو یک بررسی مکانی روی جایگیری آن‌ها برای هر خوشه انجام شد. نتایج نشان داد که تعداد یاخته‌های پهنه‌ی بسیار گرم در بلندی‌ای بالاتر از ۲۵۰۰ متری تنها ۵۸۳ یاخته است که این یاخته‌ها نیز در بلندی‌های ایران پراکنده شده است. همچنین در تراز ارتفاعی بالاتر از ۲۰۰۰ متری نیز ۴۸۵۲

یاخته‌ی بسیار گرم وجود دارد که درصد بسیار ناچیزی از مساحت این پهنه‌ی دمایی را شامل می‌شود. به همین ترتیب در پهنه‌ی گرم تعداد یاخته‌های بالاتر از ۳۰۰۰ متر و ۲۵۰۰ متری به ترتیب ۱۴۸ و ۳۹۸۲ یاخته و در پهنه‌ی معنده نیز ترازهای بالاتر از ۳۰۰۰ متر و ۳۵۰۰ متر به ترتیب ۱۲۴۹ و ۴۴ یاخته را در بر می‌گیرد. در پهنه‌ی معنده این یاخته‌ها بیشتر در دو منطقه شامل بلندی‌های لاله‌زار در استان کرمان و بخش‌های پراکنده‌ای در البرز میانی دیده می‌شوند. تمامی این مقادیر کمتر از ۰/۰۱ درصد از مساحت هر پهنه را به خود اختصاص می‌دهد. بررسی توزیع فراوانی رخ دامنه و شیب زمین در ترازهای ارتفاعی ۲۵۰۰، ۳۰۰۰ و ۳۵۰۰ به ترتیب در سه پهنه‌ی بسیار گرم، گرم و معنده انجام شد اما رابطه‌ی معنی‌داری میان رخ دامنه و شیب زمین با دما در این پهنه‌ها و بالاتر از ترازهای یادشده دیده نشد.

جدول ۱: کمینه، میانگین و بیشینه‌ی ارتفاع پهنه‌های دمای رویه‌ی زمین در ایران (متر)

پهنه‌ی دمایی	کمینه ارتفاع	میانگین ارتفاع	بیشینه ارتفاع
بسیار گرم	-	۷۳۹	۲۶۲۳
گرم	-۲۹	۱۱۸۸/۵	۳۳۸۱
معنده	-۲۷	۱۵۶۳/۵	۳۹۸۰
سرد	-۲۹	۱۸۸۸/۵	۵۲۷۹

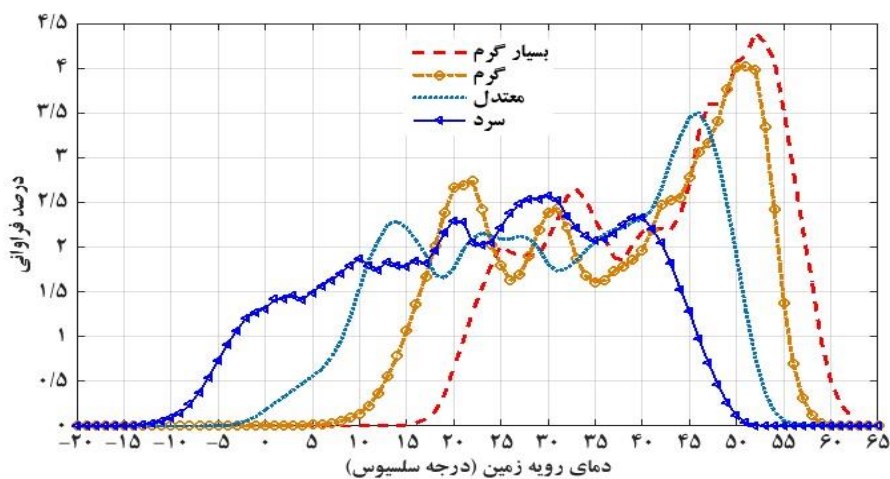
به منظور بررسی دقیق‌تر رفتار دمای رویه‌ی زمین در ترازهای ارتفاعی مختلف، درصد فراوانی هر پهنه‌ی دمایی برای ترازهای ارتفاعی ۲۰ متری در بازه‌های یک متری بررسی شد (شکل ۶). بررسی توزیع فراوانی با ترازهای ارتفاعی کوچک‌تر نوسان‌های کوتاه‌مدت و بزرگی را نشان می‌دهد که بر نمایش تغییرات فراوانی تراز ارتفاعی اثر می‌گذارد. این نوسان‌ها مربوط به رویه‌های هموار و همگونی مانند دریاچه‌ی ارومیه و بخش‌هایی از بیابان‌های داخلی ایران است. هم چنان که انتظار می‌رود پهنه‌ی بسیار گرم با بیشترین درصد فراوانی را در ترازهای ارتفاعی پایین یعنی از تراز دریا در کرانه‌های جنوبی آغاز می‌شود و با نوسان‌های پیاپی تا نزدیک به بلندای ۱۰۰۰ متری ادامه یافته و پس از آن رو به کاهش می‌گذارد. توزیع فراوانی پهنه‌های گرم و معنده نیز از ترازهای ارتفاعی بالاتری افزایش یافته و سپس از فراوانی آن‌ها کاسته می‌شود. پهنه‌ی دمایی سرد با توجه به حضور خود در کرانه‌های شمالی از ترازهای پایین تراز صفر با یک اوج کوتاه آغاز می‌شود و در پایان هم در تراز ۲۰۰۰ متری به بیشترین درصد فراوانی می‌رسد (شکل ۶) که این اوج دوم مربوط به بلندی‌های البرز و زاگرس در این پهنه‌ی دمایی است (شکل ۲). اگرچه در بلندی‌های بالاتر از ۲۰۰۰ متری نیز خوشی دمایی سرد فراغیر است اما بیشینه‌ی فراوانی این خوشی در ارتفاع ۲۰۰۰ متری به دلیل فراوانی یاخته‌ها در این تراز ارتفاعی نسبت به بلندی‌های بالاتر از آن است که درصد کمتری از گستره‌ی ایران را در بر می‌گیرند. در برخی ترازهای ارتفاعی در سه پهنه‌ی بسیار گرم، گرم و سرد افزایش‌های ناگهانی در توزیع فراوانی‌ها دیده می‌شود که پس از بررسی مشخص شد علت این افزایش ناگهانی وجود مناطق صاف و همگون درون یک پهنه‌ی دمایی است که با قرار گرفتن در یک تراز ارتفاعی، درصد فراوانی را در آن تراز بالا برده است. برای مثال فراوانی‌های ۵ درصد و ۴/۵ درصد به ترتیب در پهنه‌های گرم و بسیار گرم مربوط به بخش‌های هموار و همگون در نواحی بیابانی ایران است و فراوانی ۲/۵ درصد در پهنه‌ی سرد اثر دریاچه‌ی ارومیه را نشان می‌دهد که در بلندای ۱۲۶۷ متری قرار دارد.



شکل ۶: توزیع فراوانی ارتفاع در هر ۲۰ متر برای چهار پهنه‌ی دمایی

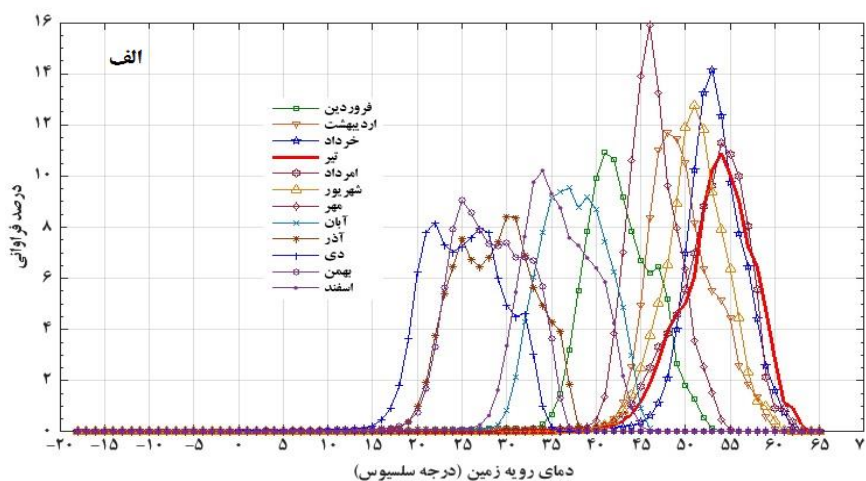
توزیع فراوانی دمای رویه‌ی زمین در پهنه‌های دمایی

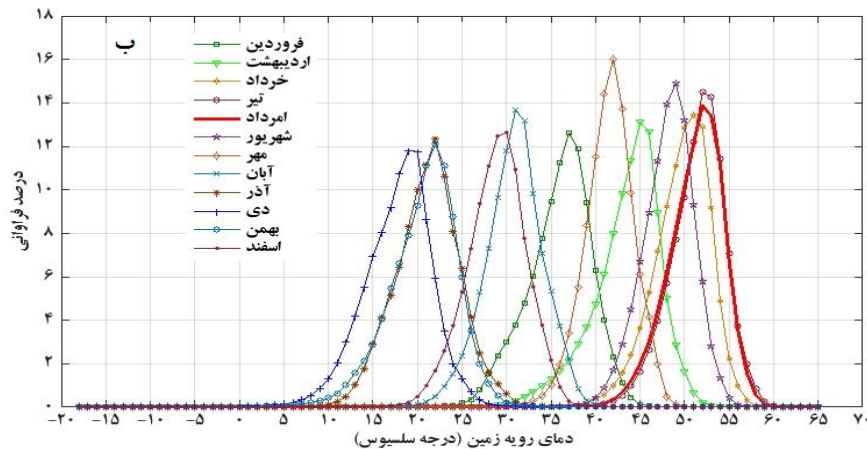
شکل ۷ توزیع فراوانی دمای رویه‌ی زمین را در چهار پهنه‌ی دمایی نشان می‌دهد. در نگاه اول می‌توان دید که توزیع فراوانی دمای رویه‌ی زمین در هر چهار پهنه چند نمایی است. این ویژگی از دیدگاه آب و هوایی به این معناست که دمای رویه‌ی زمین خصوصیت فصلی دارد. در پهنه‌ی بسیار گرم توزیع فراوانی دما دو نمایی است. در فصل گرم در این پهنه، دمای ۵۳ درجه‌ی سلسیوس و در فصل سرد دمای ۳۳ درجه‌ی سلسیوس از بیشترین فراوانی برخوردار است. به بیان دیگر تفاوت دمای رویه‌ی زمین در دو فصل سرد و گرم پهنه‌ی بسیار گرم نزدیک به ۲۰ درجه‌ی سلسیوس است. در پهنه‌ی گرم توزیع فراوانی دمای رویه‌ی زمین سه نمایی است. در این صورت باید پهنه‌ی گرم را دارای سه فصل دمایی در نظر بگیریم. در فصل گرم فراوانترین دمای رویه‌ی زمین در این پهنه ۵۲ درجه‌ی سلسیوس است که با ویژگی فصل گرم پهنه‌ی بسیار گرم تفاوت چندانی ندارد. در عوض در فصل سرد فراوانترین دمای این پهنه ۲۳ درجه‌ی سلسیوس است و در فصل گذار فراوانترین دما در این پهنه ۳۰ درجه‌ی سلسیوس است؛ بنابراین فصل سرد پهنه‌ی بسیار گرم تقریباً همانند فصل گذار پهنه‌ی گرم است. پهنه‌ی دمایی معتدل نیز سه نمایی است. در فصل گرم دمای ۴۵ درجه‌ی سلسیوس و در فصل گذار و فصل سرد به ترتیب دماهای ۲۵ و ۱۴ درجه‌ی سلسیوس بیشترین فراوانی را دارند. پهنه‌ی سرد ویژگی فصلی مشخصی نشان نمی‌دهد در عوض در سراسر سال دمای رویه‌ی زمین عمدهاً بین ۱۰ تا ۴۰ درجه‌ی سلسیوس در نوسان است (شکل ۷).



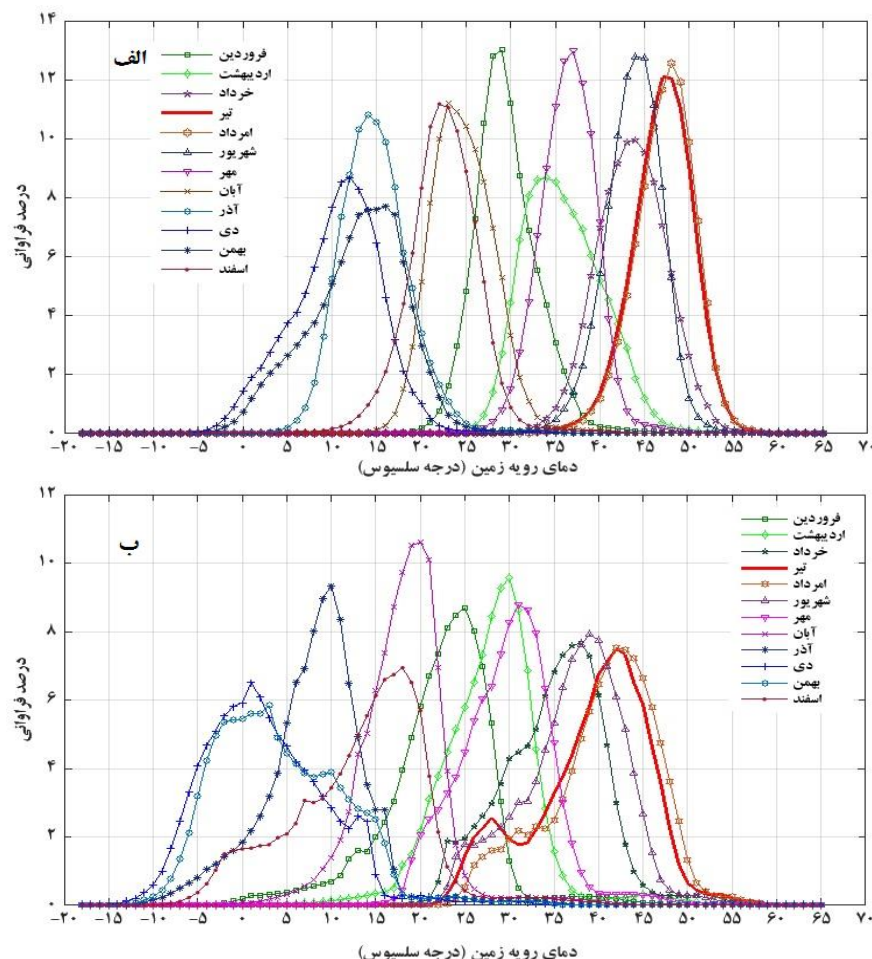
شکل ۷: توزیع فراوانی دمای رویه زمین برای طبقات یک درجه سلسیوس برای چهار پهنه دمایی

توزیع فراوانی ماهانه دمای رویه زمین در هر پهنه دمایی بررسی شد تا ریشه زمانی و مکانی تغییرات آن در هر پهنه دمایی مشخص شود. شکل ۸ توزیع فراوانی ماهانه را برای دو پهنه بسیار گرم و گرم نشان می‌دهد. الگوهای ماهانه توزیع فراوانی دما هم‌خوانی زیادی با چند نمایی بودن توزیع فراوانی سالانه آن دارد برای نمونه در پهنه بسیار گرم ماههای ۴۵ تا ۶۰ درجه سلسیوس (شکل ۷) با فراوانی ماههای گرم سال در شکل ۸-الف هم‌خوانی دارد. در حالی که فراوانی ۳۰ تا ۳۵ درجه سلسیوس (نمای دوم در شکل ۷) هم‌زمان با توزیع فراوانی دما در ماههای سرد سال هم چون آذر، دی، بهمن و اسفند است (شکل ۸-الف). پهنه گرم با سه نما در توزیع سالانه که در ماههای ۵۰ تا ۵۵، ۳۰ و ۲۰ درجه سلسیوس رخداده است (شکل ۷) به ترتیب در ماههای گرم، گذار و سرد سال فراوانی بالاتری را نشان می‌دهند که ریشه زمانی توزیع فراوانی دما را نمایان می‌سازد (شکل ۸-ب). پهنه‌های معتدل و سرد نیز رفتاری همانند پهنه‌های بسیار گرم و گرم در توزیع فراوانی دمای ماههای سال نشان می‌دهند.



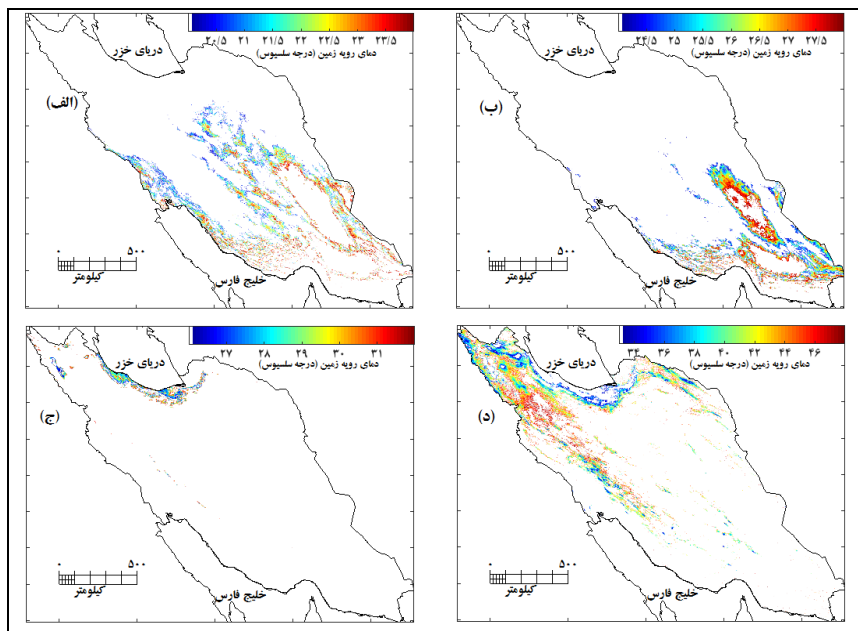


شکل ۸: توزیع فراوانی ماهانه دمای رویه زمین ایران در پهنه‌های بسیار گرم (الف) و گرم (ب)



شکل ۹: توزیع فراوانی ماهانه دمای رویه زمین ایران در پهنه‌های معتدل (الف) و سرد (ب)

در پهنه های دمایی بسیار گرم و سرد بیشتر توزیع ها دارای چولگی به ترتیب به سمت راست و چپ بوده و دو نمایی هستند اما در پهنه های گرم و معتدل توزیع فراوانی دمای رویه زمین نرمال است. دو نمونه از این توزیع ها در دی ماه پهنه های بسیار گرم و تیرماه پهنه های سرد به منظور بررسی ریشه های مکانی این تغییرات در شکل ۱۰ آمده است. تفاوت مکانی نماهای دو گانه در دی ماه پهنه های بسیار گرم (شکل ۱۰-الف و ۱۰-ب) بررسی شد. گستره های مکانی نمایی اول از ۲۰ تا ۲۴ درجه سلسیوس، عرض های بالاتر در ایران مرکزی و بخش های جنوب غربی را شامل می شود در حالی که نمای دوم در گستره های ۲۸ تا ۲۴ درجه سلسیوس بخش هایی از کرانه های جنوبی، دشت لوت و چاله ای جازموریان را در بر گرفته است. در شکل ۱۰-ج و ۱۰-د گستره های مکانی توزیع دو نمایی تیرماه در پهنه های سرد آمده است که به روشنی تفاوت دمایی کرانه های شمالی و دریاچه ای ارومیه را از سایر بخش های پهنه های سرد نشان می دهد.



شکل ۱۰: گستره های مکانی دو نمونه از توزیع های دونمایی در دی ماه پهنه های بسیار گرم (الف، ب) و تیرماه پهنه های سرد (ج، د)

در جدول شماره ۲ آماره های دمای رویه زمین در چهار پهنه دمایی آمده است. کمینه دما به جز در پهنه های بسیار گرم، زیر صفر درجه سلسیوس است و در پهنه های سرد به ۱۹- درجه سلسیوس رسیده است. بیشینه دما در پهنه های معتدل بالاتر از پهنه های گرم بوده است. نکته هی جالب توجه افزایش انحراف استاندارد و مهم تر از آن تغییر پذیری دمای رویه زمین از پهنه های گرم به پهنه های سرد است که این شرایط افزایش پراکنش درونی پهنه های از گرم به سرد را در ایران نشان می دهد.

جدول ۲: آمارهای توزیع فراوانی دمای رویه زمین در پهنه‌های دمایی

تغییرپذیری %	انحراف استاندارد	میانگین (°C)	میانه (°C)	بیشینه (°C)	آمارهای پهنه‌ی دمایی	
					بسیار گرم	گرم
۲۵/۷	۱۰/۸	۶۴/۲	۴۲/۲	۴/۲	بسیار گرم	گرم
۳۴	۱۲/۵	۶۱	۳۶/۸	-۶/۷		
۴۴/۳	۱۳/۵	۶۳/۱	۳۰/۶	-۹/۱	معتدل	
۶۳/۵	۱۴/۳	۵۴/۳	۲۲/۶	-۱۹		سرد

نتیجه‌گیری

به کارگیری داده‌های دمای رویه زمین مودیس با چگالی مکانی یک کیلومتر و بازه‌ی زمانی روزانه در گستره‌ی ایران تصویر دقیق‌تری ارائه می‌دهد. تنوع ارتفاعی ایران، گستردگی ایران در عرض‌های جغرافیایی مختلف، گوناگونی ویژگی‌های محیطی و تأثیرپذیری از سامانه‌های گوناگون هوا سپهری بر اهمیت چگالی مکانی داده‌های آب و هوایی می‌افزاید. واکاوی دمای رویه زمین با توجه به اندرکنش آن با دمای هوا، رطوبت خاک و پوشش گیاهی اطلاعات سودمندی را به‌ویژه از مناطق دور از دسترس مانند بلندی‌ها و بیابان‌ها در اختیار می‌گذارد و در شناسایی هرچه دقیق‌تر نواحی آب و هوایی ایران سودمند است. پهنه‌بندی دمای رویه زمین در ایران چهار پهنه‌ی دمایی مشخص را نمایان می‌سازد که قلمرو هرکدام از این پهنه‌ها هم‌خوانی زیادی با ویژگی‌های محیطی و جغرافیایی به‌ویژه ارتفاع، ویژگی‌های رویه زمین و عرض جغرافیایی نشان می‌دهد. به‌گونه‌ای که بلندی‌های ایران در رشته‌کوههای زاگرس و البرز و نیز بلندی‌های داخلی در خوشه‌های معتدل و سرد قرار می‌گیرد درحالی که مناطق پست در عرض‌های جنوبی و بیابان‌های داخلی پهنه‌های بسیار گرم و گرم ایران هستند. اگرچه هر پهنه‌ی دمایی از پیوستگی مکانی قابل‌توجهی برخوردار است اما با توجه به چگالی مکانی داده‌های مورداستفاده بخش‌هایی از یک خوشه‌ی دمایی به‌صورت جزایر درون پهنه‌های دیگر نمایان شده است که نشان از اثر شرایط محلی در پیدایش این جزایر دمای رویه زمین نسبت به اطراف خود دارد. پهنه‌های گرم‌تر تغییرپذیری درونی کمتری را به‌ویژه در نیمه‌ی گرم سال نشان می‌دهند که نشان از شرایط پایداری دمایی بیش‌تر در این پهنه‌ها و در دوره‌ی گرم سال دارد. ضریب بسیار بالای تغییر در پهنه‌ی دمایی سرد و در دوره‌ی سرد سال اختلاف درونی این پهنه را آشکار می‌سازد و نشان‌دهنده‌ی اختلاف دمای رویه میان کرانه‌های شمال کشور با بلندی‌های ایران در دوره‌ی سرد سال است.

واکاوی مقادیر بیشینه و کمینه دمای رویه زمین در پهنه‌های دمایی ایران نشان می‌دهد که در هنگام رخداد بیشینه‌ها دمای رویه زمین در پهنه‌های گرم و معتدل به مقادیر دما در پهنه‌ی بسیار گرم نزدیک‌تر می‌شوند. با توجه به گستره‌ی پهنه‌ی گرم که یک‌سوم مساحت ایران را در بر می‌گیرد می‌توان نتیجه گرفت که بخش‌های زیادی از کشور در صورت افزایش دما این قابلیت را دارد که تبدیل به مناطق بسیار گرم با دمای رویه زمین بیش از ۶۰ درجه‌ی سلسیوس شود. توزیع فراوانی دمای رویه زمین در پهنه‌های مختلف نشان داد که تغییرات زمانی دما عامل اصلی تغییر در توزیع فراوانی دمای رویه زمین است. با این وجود توزیع‌های دونمایی در برخی ماههای سال در دو پهنه‌ی بسیار گرم و سرد ریشه‌ی مکانی آن‌ها را نمایان می‌سازد.

منابع

- حجازی زاده، زهراء؛ ضیائیان، پرویز؛ شیر خانی، علیرضا، ۱۳۹۲، مقایسه برآورد دمای سطح با استفاده از داده های باند حرارتی سنجنده های ماهواره ای در غرب استان تهران و قزوین، فصلنامه جغرافیا، شماره ۳۸، صص ۴۹-۳۵.
- دشتکیان، کاظم؛ دهقانی، محمدعلی، ۱۳۸۶، بررسی دمای سطح زمین در ارتباط با پوشش گیاهی و توسعه شهری با استفاده از سنجش از دور و سامانه های اطلاعات جغرافیایی در مناطق بیابانی، مطالعه موردنی منطقه یزد - اشکذر، مجله پژوهش و سازندگی در منابع طبیعی، شماره ۷۷، صص ۱۷۹-۱۶۹.
- غلامعلی کمالی، حسین؛ مؤمن زاده، حسین؛ وظیفه دوست مجید، ۱۳۹۰، بررسی تغییرات ماده خشک و عملکرد گندم در دوره های خشک سالی و ترسالی با کمک داده های ماهواره ای MODIS در استان اصفهان، نشریه بوم شناسی کشاورزی، شماره ۲، صص ۱۹۰-۱۸۱.
- مؤمنی شهرکی، مهدی؛ قزلباش، زهره، ۱۳۹۰، بررسی رابطه دمای سطح زمین با شاخص پوشش گیاهی (NDVI) در محدوده های شهر و اطراف آن با استفاده از تصاویر ماهواره مودیس، نشریه علوم و فنون کشاورزی، شماره ۳، صص ۱۱-۱.

- Benali, A., Carvalho, A.C., Nunes, J.P., Carvalhais, N., Santos, A. (2012). Estimating air surface temperature in Portugal using MODIS LST data, *Remote Sensing of Environment*, 124: 108–121.
- Chapman, L., thornes, J. E., Bradly, A. V., (2001). Modeling of road surface temperature from a geographical parameter database Part2: Numerical, *Meteorological Applications*, 8: 421-436.
- Cui Y. Y., Foy, B. D., (2012). Seasonal Variations of the Urban Heat Island at the Surface and the Near-Surface and Reductions due to Urban Vegetation in Mexico City, *journal of applied meteorology and climatology*, 51: 855-868.
- Coll, C., Wan, Z., Galve, J. M., (2009). Temperature-based and radiance-based validations of the V5 MODIS land surface temperature product, *Journal of geophysical research*, 114: 1-15.
- Diaz, R. C., (2013). Evaluation of MODIS Land products for air temperature estimations in Colombia, *Agronomia Colombiana*, 31(2): 223-233.
- Ge, j., (2010). MODIS observed impacts of intensive agriculture on surface temperature in the southern Great Plains, *International Journal of Climatology*, 30: 1994–2003.
- Hanes J., Mark, M., Schwartz, D., (2011). Modeling land surface phenology in a mixed temperate forest using MODIS measurements of leaf area index and land surface temperature, *Theoretical Applied Climatology*, 105: 37–50.
- Hong, S., Lakshmi, V., Eric, E. S., (2007). Relationship between Vegetation Biophysical Properties and Surface Temperature Using Multisensor Satellite Data, *Journal of Climate*, 20: 5593-5606.
- Jain, S. k., Ajanta G., saraf, A.K., (2008). Determination of land surface temperature and its lapse rate in the Satluj River basin using NOAA data, *International Journal of Remote Sensing*, 29: 3091–3103.
- Jin, M., Dickinson, R.E., Zhang, D. L., (2005). The Footprint of Urban Areas on Global Climate as Characterized by MODIS, *Journal of Climate*, 18: 1551– 1565.
- Ignatov, A., Gutman, G., (1998). Diurnal cycles of land surface temperatures. *Advanced Space Research*, 22: 641-644.
- Lei, Z., Yaoming, M.A., Zhongbo S.U., SALAMA, M.S., (2010). Estimation of Land Surface Temperature over the Tibetan Plateau Using AVHRR and MODIS Data, *Advances in atmospheric sciences*, 27(5): 1110–1118.
- Mostovoy, V. G., Roger, L. K., Reddy, K. R., Kakani, Marina, V. G., Filippova, G., (2006). Statistical Estimation of Daily Maximum and Minimum Air Temperatures from MODIS LST Data over the State of Mississippi, *GIScience & Remote Sensing*, 43: 78-110.
- Mildrexler, David, Zhiqiang, Y., Warren, B. C., David M. B., (2016). A forest vulnerability index based on drought and high temperatures, *Remote Sensing of Environment*, 173: 314–325.

- Muster, S., Langer, M., Abnizova, A., Young, K.L., Boike, J., (2015). Spatio-temporal sensitivity of MODIS land surface temperature anomalies indicates high potential for large-scale land cover change detection in Arctic permafrost landscapes, *Remote Sensing of Environment*, 168: 1–12.
- Pongrácz, R., Bartholy, J., Dezs, Z., (2010). Application of remotely sensed thermal information to urban climatology of Central European cities, *Physics and Chemistry of the Earth*, 35: 95–99.
- Rasul, A., Balzter, H., Smith, C., 2015, Spatial variation of the daytime Surface Urban Cool Island during the dry season in Erbil, Iraqi Kurdistan, from Landsat 8, *Urban Climate*, 14: 176–186.
- Son N.T., Chen, C.F., Chen, C.R., Chang, L.Y., Minh, V.Q., (2012). Monitoring agricultural drought in the Lower Mekong Basin using MODIS NDVI and land surface temperature data, *International Journal of Applied Earth Observation and Geoinformation*, 18: 417–427.
- Shao, J., Swanson, J. C., Patterson, R., Lister, P.J., McDonald, A.N., (1997). Variation of winter road surface temperature due to topography and application of thermal mapping, *Meteorology Applied*, 4: 131–137.
- Tarpley, J. D., (1979). Estimating incident solar radiation at the surface from geostationary satellite data, *Journal of Applied Meteorology*, 18: 1172– 1181.
- Wan, Z., Zhang, Y., Zhang, Q., liang-Li, Z., (2002). Validation of the land-surface temperature products retrieved from Terra Moderate Resolution Imaging Spectroradiometer data, *Remote Sensing of Environment*, 83: 163–180.
- Wan, Z., (2008). New refinements and validation of the MODIS land surface temperature/emissivity products, *Remote Sensing of Environment*, 112: 59–74.
- Wu, P., Shen, H., Zhang, L., Götsche, F.M., (2015). Integrated fusion of multi-scale polar orbiting and geostationary satellite observations for the mapping of high spatial and temporal resolution land surface temperature, *Remote Sensing of Environment* 156: 169–181.